

(97)

横吹きにおける気泡の生成について

新日本製鐵 生産技術研究所 ○島田道彦, 石橋政衛  
白石惟光, 森瀬兵治

I 緒言 ガス吹込み精錬においては小気泡群を生成することが必要であり, また反応機構の解明のためにも気泡形状を知ることが望まれる。下方から吹込む場合については近時, 森, 佐野らにより明らかになってきたが, 横吹きに関しては研究は少ない。特に高流速で吹込む際には, 発生気泡の数も多く, 形状の測定も容易ではない。CO<sub>2</sub>-水系についてガス吸収による気泡界面積の測定を試みた。

II 実験方法 水によるCO<sub>2</sub>の吸収は液側の移動律速とみなせるから, 一定のガス濃度C<sub>g</sub>でノズルを通じ水量Bの容器内にガスを吹込むとき, 液中の濃度C<sub>l</sub>は次式で与えられる。

$$dC_l/dt = (Ak_l/B)(C_g - C_l) \dots\dots\dots ①$$

Aは気泡界面積, k<sub>l</sub>は液側物質移動係数。気泡は球状でないから形状係数αを用い, 発生時の気泡の平均相当直径をδ<sub>0</sub>とする。k<sub>l</sub>, αは浮上中は変らぬものとして, 浮上時間τ後のAを②式で表わす。

$$A = A_0 \{ 1 - 2/3 \cdot \alpha k_l (C_g - C_l) \tau (6v^*/\pi)^{1/3} \cdot \delta_0^{-1} \} \dots\dots\dots ②$$

A<sub>0</sub>は発生時のA, v\*は気体のモル容積。A<sub>m</sub> = (A + A<sub>0</sub>)/2をAの代りに用いて①式を解く。

$$(A_0 \cdot k_l / G) = (B / Gt) \ln [ 1 + (\eta Gt / v^* B C_g) / (1 - \phi C_g) (1 - \eta Gt / v^* B C_g) ] \dots\dots ③$$

$$\text{ただし, } \phi = (1/3) (6v^*/\pi)^{1/3} (\alpha k_l \tau / \delta_0) \dots\dots\dots ④$$

Gはガス流量, ηはCO<sub>2</sub>の水に対する吸収率であるから, (A<sub>0</sub>k<sub>l</sub>/G)が求められる。

III 実験結果と考察 ノズル吹込み角度(水平に対し)θ, ノズル吹込み深さHの影響を(A<sub>0</sub>k<sub>l</sub>/G)により明らかにすることができた。また(A<sub>0</sub>k<sub>l</sub>/G)に及ぼすGとノズル径d<sub>n</sub>の影響を調べた。

A<sub>0</sub>/Gτ ∝ α/δ<sub>0</sub>とみなし, 実験結果のτ ∝ H/(δ<sub>0</sub>g)<sup>1/2</sup>を用い, 無次元化して整理すれば, 次の関係が得られる。液の密度ρ<sub>l</sub>, 表面張力σとし, 液の粘性の影響は無視した。<sup>2) 3)</sup>

$$A_0 d_n (d_n g)^{1/2} / GH = f(We, Fr), \quad We = (\rho_l G^2 / \sigma d_n^3), \quad Fr = (G^2 / d_n^5 g)$$

図1にA<sub>0</sub>の代りにA<sub>0</sub>k<sub>l</sub>を用いて, この関係を示した。只木によるWe・Fr<sup>-0.5</sup>との関係は認められなかったが,

We・Fr<sup>-0.4</sup> = 1500を境としてA<sub>0</sub>k<sub>l</sub>/Gに変化が認められた。写真によっても生成状況の異なることが知られ, We・Fr<sup>-0.4</sup> > 1500では小気泡群になることがわかった。ただし, 図1の結果には, k<sub>l</sub>の影響も含まれるから, これについても検討すべきであろう。

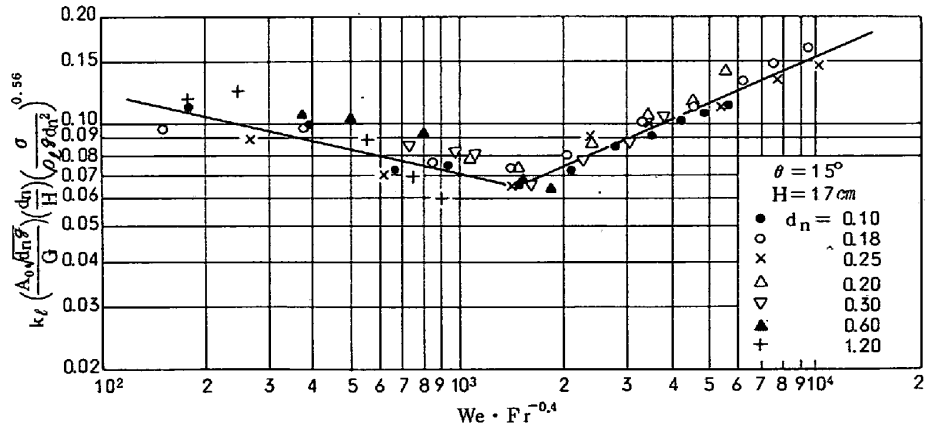


図1. 吹込み条件とA<sub>0</sub>の関係

IV 結言 ガスの物理吸収を利用して高速吹込みの気泡生成状況を調べることができた。

参考文献

1) 佐野, 森 : 鉄と鋼, 60 (1974) 3, P. 348  
2) I. LEIBSON : A. I. Ch. E. J., 2 (1956) 3, P. 296  
3) 只木, 前田 : 化学工学 27 (1963) 3, P. 147